

UDC 669.15'24-194 : 669.14.018.41-15-462 : 621.791.011 : 539.3/.4

技術報告

LNG用9%Ni調質熱処理鋼管の性能*

平 忠明**・平林 清照***・市之瀬弘之****・

大須賀立美*****・武重 賢治*****

Properties of Quenched and Tempered 9%Ni Steel Pipes for LNG Service

Tada-aki TAIRA, Kiyoteru HIRABAYASHI, Hiroyuki ICHINOSE,
Tatsumi OSUKA, and Kenji TAKESHIGE

Synopsis:

The development of a 9% nickel steel pipe suitable to the transportation of the liquefied natural gas has been studied to both laboratory and mill scale.

(1) As-rolled 9% nickel steel plates were formed to the pipes by UOE process. The pipes were welded by using the 9% nickel steel wire with SAW or MIG welding equipment, and quenched and tempered by continuous heating pipe QT installation. As a result the developed pipes had good qualities and properties in both pipe body and weld portion, and satisfied A333 Gr. 8 in the Standard of ASTM.

(2) The microstructures in the weld portion of the 9% nickel steel pipes produced by pipe-QT process were consisted of the tempered martensite and partial retained austenite structures as same as in the pipe body, and the maximum hardness in the weld portion was only Hv. 264.

The toughness of both pipe body and weld portion, and the macrostructure of welded joint were of good properties.

(3) The optimum condition for the rapid heating cycle in a short time is to quench at 790°C and temper at 620°C for 4 min.

1. 緒 言

9%Ni鋼は極低温における機械的性質が優れているにもかかわらず溶接性に関しては問題点が多く、従来はNi基合金被覆棒またはワイヤによる溶接が大部分であつた¹⁾。近年、越賀、田中らによつてMIGまたはTIGによる共金溶接法が開発されてきた^{2),3)}。一方サブマージアーケット溶接(SAW)の場合には共金系の9%Ni鋼溶接材料において、溶接ままで韌性が確保できず、従来のNi基合金ではコストも高く、しかも溶接入熱増大によるHAZ韌性劣化が問題であつた。これらの溶接上の問題が解決されれば、LNGを輸送する9%Ni鋼ラインパイプはより安価に製造できるようになる。それには共金のワイヤでSAW溶接をした後、焼入れ、焼もどし

(QT)して高韌性を得ることが望ましい。そこで本研究はパイプ QTに適した9%Ni鋼の熱処理条件、溶接条件を実験室的に検討するとともに、実管製造に際しては、圧延ままの9%Ni鋼を製管して、共金ワイヤでSAW溶接とMIG溶接をしたのち、パイプ QTの設備を用いて钢管を連続的に熱処理することによつて、母材、溶接部共に優れた性能をもつ钢管を開発した。

2. 供試鋼および溶接材料

本研究に供試した9%Ni鋼の化学成分をTable 1に、その製造プロセスをTable 2に示す。鋼AはUOE+Pipe QTに用いた9%Ni鋼であり、このHeatで4本の钢管を製管してパイプ QTした。钢管のサイズは710 mm(28")外径(OD)×8.0 mm肉厚(WT)

* 昭和53年4月 本会講演大会にて発表 昭和55年11月22日受付 (Received Nov. 22, 1979)

** 日本钢管(株)技術研究所福山研究所 工博 (Fukuyama Laboratories, Technical Research Center, Nippon Kokan K. K.)

*** 日本钢管(株)技術研究所福山研究所 (Fukuyama Laboratories, Technical Research Center, Nippon Kokan K. K., 1 Kokan-cho Fukuyama 721)

**** 日本钢管(株)技術研究所福山研究所 ph. D. (Fukuyama Laboratories, Technical Research Center, Nippon Kokan K. K.)

***** 日本钢管(株)技術研究所 (Technical Research Center, Nippon Kokan K. K.)

***** 日本钢管(株)福山製鉄所 (Fukuyama Works, Nippon Kokan K. K.)

Table 1. Chemical composition of 9% Ni steel used. (wt %)

Steel	C	Si	Mn	P	S	Ni	Cr	Mo	SoI. Al	T N ₂
A	0.04	0.19	0.40	0.004	0.003	9.06	-	0.11	0.018	0.0061
B	0.05	0.24	0.44	0.005	0.007	8.92	0.11	-	0.028	0.0063

Table 2. Manufacturing process of pipe A and B.

Steel	Size	Process	Welding Condition	
			SAW	Wire: 9% Ni Steel Wire Flux: Fused Basic Flux
A	710mmOD X8.0mmWT	As Rolled Plate+UOE +Pipe QT	SAW	Wire: 9% Ni Steel Wire Flux: Fused Basic Flux
B	610mmOD X6.5mmWT	QT Plate+UOE	SAW	Wire: 63Ni-15Cr-14Mo-Fe Flux: Agglomerated Flux

である。一方鋼Bは比較材として用いた9%Ni鋼でQT plate+UOEで1本造管した。鋼管サイズは610mm(24") OD×6.5 mmWTである。钢管Aの溶接材料はTable 2に示すように9%Ni鋼の共金ワイヤでSAW溶接とMIG溶接でもつて造管し、この時のSAW用フラックスは塩基性溶融型フラックスである。钢管Bの溶接材料は63Ni-15Cr-14Mo-FeのNi基合金ワイヤと焼結型のフラックスを用いて溶接をした。

3. 母材溶接部の熱処理条件と溶接条件の実験室的検討

3.1 鋼Aの最適熱処理条件の検討

9%Ni鋼の通常の炉内における最適熱処理条件は、これまでに種々検討され、ASTM, A 553でも規格化されているが、パイプ QTのような短時間熱処理では、最適条件が変化する可能性があるため、実管をパイプ QTする前に、実験室的に短時間焼入れ焼もどしの温度と機械的性質の関係を調べた。供試鋼板はTable 1に示した鋼Aの化学成分をもつ8.0 mm厚の鋼板である。熱処理は急速加熱を前提にしているため、ソルトバスによるパイプ QTシミュレーションを行い、その加熱冷却パターンをFig. 1に示す。焼入温度は770°C~830°Cの3水準、焼もどし温度は570°C~660°Cで4水準行つた。試験結果をFig. 2, Fig. 3に示す。600°Cまでは焼もどし温度の上昇とともに、YS, TSは低下するが、600°Cを越えるとTSは再び上昇する。YSは630°C焼もどしで最小となり、それ以上では再び上昇する。本鋼種はP, S, Siともに低いため、靭性が良好で、試験温度-196°Cでのシャルピー破面はすべて延性破面で

あつたため、vE -196°Cは焼もどし温度によらずほぼ一定であつた。残留オーステナイト量は630°Cまでは焼もどし温度と共に上昇し、630°Cを越えると再び低下する。従来、最もよい靭性を示す残留オーステナイト量は2~4%程度とされており⁴⁾、本鋼の最適焼もどし温度は600~620°Cと考えられる。焼入温度による強度、靭性変化は本実験範囲では認められなかつたが、残留オーステナイト量は、焼入温度の上昇とともに低下する。これは従来言わわれている⁵⁾焼入温度の上昇に伴い、Ac₁温度(Ac₁ true, Ac₁ conventionalともに)が上昇するためと考えられる。最適焼入温度を本実験範囲のデータより決定するのは困難であるが、ASTM A553の熱処

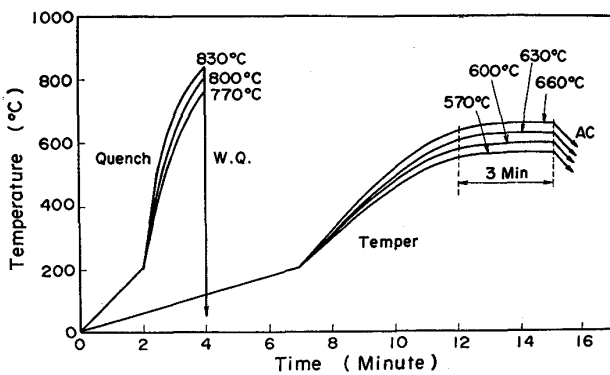


Fig. 1. Simulation pattern of heat treatment by salt bath. (steel A)

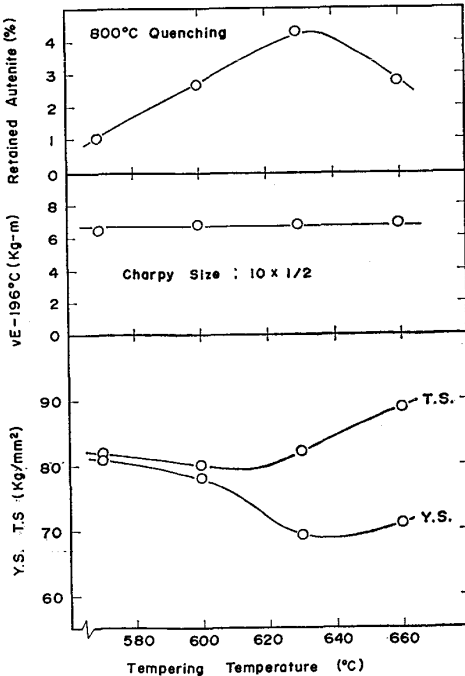


Fig. 2. Relation between tempering temperature and mechanical properties of quenched and tempered 9% Ni steel. (keeping time of tempering: 3 min)

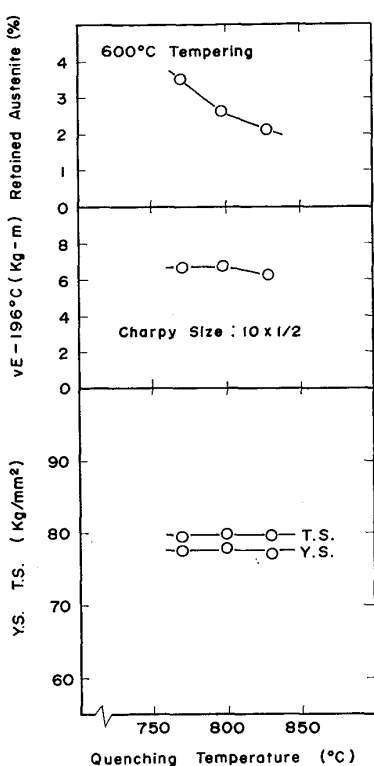


Fig. 3. Relation between quenching temperature and mechanical properties of 9% Ni steel. (C direction)

理温度規格（焼入温度 800~925°C）を考慮すると 800°C 程度が好ましいと考える。800°C 焼入れ、600~620°C 焼もどしでパイプ QT を行えば、本鋼は ASTM 規格を十分満足することが明らかになつた。

3.2 鋼 A の溶接条件と溶接部の最適熱処理条件の検討

まず 9%Ni 共金ワイヤと塩基性溶融型フラックスを用いて、継手の曲げ特性に及ぼす溶接条件の影響を検討した。アーカ電圧が 30V の場合拡散性水素量は 4.6~5.1 cc/100 g であつた。アーカ電圧が 40Vになると 10.2 cc/100 g に上昇することがわかつた。アーカ電圧が高くなると溶接金属の拡散性水素量が増大し、Fig. 4 に示すように、これが継手の曲げ延性を低下させる。SAW においてアーカ電圧により溶接金属の拡散性水素量が変化する傾向は本試験に供試したフラックスに限定される現象ではなく、森垣ら⁶⁾が述べているように一般的に示されていることである。しかしアーカ電圧の高い場合でも、溶接直後に脱水素処理 (Fig. 4 では PWHT) をすれば、曲げ延性が回復することから考えて溶接終了時点からある時間における溶接金属中の水素量が継手の曲げ延性の支配的な因子となっていることが推定される。以上のことから、良好な継手の曲げ特性を確保するためには、アーカ電圧を制限する必要があり、実管溶接に適用した。

次に 9%Ni 鋼共金ワイヤでもつて SAW 溶接を行い、パイプ QT の熱処理シミュレーションをかけて溶接部の性能試験を行つた。熱処理は Fig. 1 と同様のパターンで行い、焼入れは 820°C より水冷し、焼もどしは 540°C から 660°C の間の 5 水準で行つた。Fig. 5 は SAW 溶接金属の韌性に及ぼす焼もどし温度の影響を示す。QT した溶接金属の vE -196°C と横膨脹率は溶接ままの溶接金属よりも高韌性であり、しかも焼もどし温度が 600°C~630°C の間で最も高韌性になつてることが認められる。●印の HAZ 韌性は、600°C 焼もどし温度において、溶接金属よりも高韌性が得られ良好である。Fig. 6 は SAW 溶接した試験板について、溶接ままとソルトバス熱処理シミュレーションによる 820°C 焼入れ、600°C 焼もどした時の溶接継手の硬度分布を

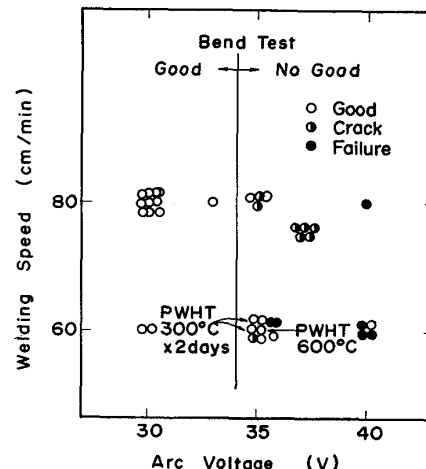


Fig. 4. Relation between arc voltage and guided bend test results of 9% Ni steel welds.

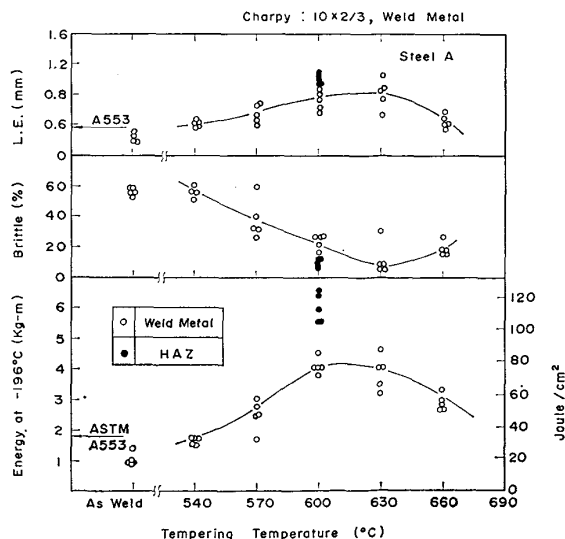


Fig. 5. Relation between tempering temperature and impact properties of weld metal (820°C quench; keeping time of tempering : 3 min)

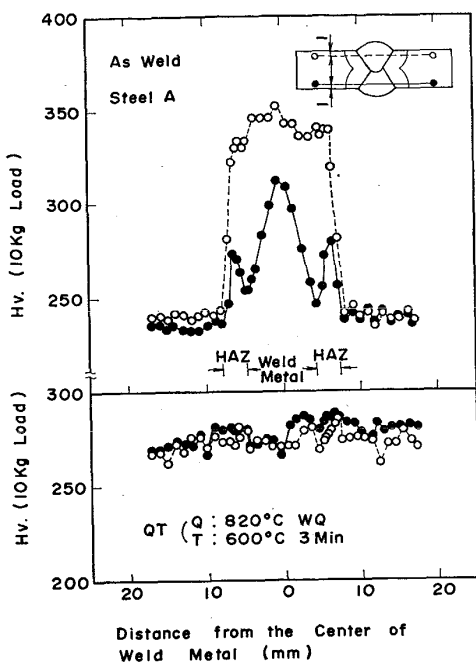


Fig. 6. Hardness distribution of welded joints.

比較して示す。溶接ままの溶接金属は 9%Ni 鋼共金ワイヤを用いているので、低炭素のマルテンサイト組織になるため、母材硬度に比べて著しく硬化する。しかし QT 後の溶接金属の硬度は均一の焼もどしマルテンサイトになるので、母材と同一の硬度が得られ、硬度の均一性は優れている。以上の結果から母材および溶接部の実験室的熱処理シミュレーションによって最適な熱処理条件が得られたので実管に適用し、母材の温度において $790^{\circ}\text{C} \pm 20^{\circ}\text{C}$ 烧入れ、 $620^{\circ}\text{C} \pm 20^{\circ}\text{C}$ 烧もどしの条件に設定してパイプ QT した。

4. パイプ QT による試作鋼管の開発

4.1 9% Ni 鋼管のパイプ QT 条件

本研究のために、Table 1 に示す鋼 A からパイプ QT 方式で 4 本造管し、鋼 B から QT Plate+UOE 方式で 1 本造管して性能比較をした。鋼 A から造管した鋼管 4 本はパイプ QT の設備を用いて 790°C から焼入れをした。 $700^{\circ}\text{C} \sim 200^{\circ}\text{C}$ までの冷却速度は $50^{\circ}\text{C}/\text{s}$ である。焼もどしの条件は $620^{\circ}\text{C} 4 \text{ min}$ 均熱後空冷した。ASTM A333 (Gr. 8) における焼入れ焼もどしは 15 min の保持が必要であるが、本研究においては鋼管の性能を重視した考えのもとに、性能が規格を満足する相当品を試作することとした。

4.2 造管試験結果

4.2.1 パイプ QT による母材の性能

鋼管 A と鋼管 B の引張強度の比較および矯正引張試験

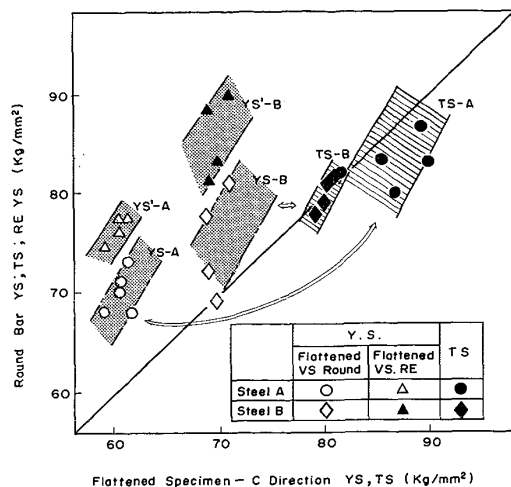


Fig. 7. Relation between flattened specimen and round bar, ring expansion test result.

片と丸棒、リングエキスパンション (RE) YS の比較を Fig. 7 に示す。図中の記号は YS-A, TS-A が鋼管 A の矯正試験片と丸棒 YS, TS の関係、YS'-A は鋼管 A の矯正試験片と RE の YS である。YS-B, TS-B は鋼管 B の矯正試験片と丸棒の YS, TS の関係であり、YS'-B は矯正試験片と RE の YS である。鋼管 A に比べて鋼管 B は成形による加工硬化が残存するために、YS/TS が高く、RE-YS は丸棒 TS、矯正試験片の TS よりも高いパイプも生じた。これに対して鋼管 A は矯正試験片の YS/TS は 80% 以下と良好であり、丸棒 YS は矯正引張試験片 YS に比べて約 6.5 kg/mm^2 高い。RE-YS は丸棒 YS より、更に 4.9 kg/mm^2 から 6.7 kg/mm^2 高いことを認めた。このようにパイプ QT によって製造した 9%Ni 鋼管の YS, TS は ASTM 規格 A 333 (Gr. 8) を十分に満足した上に、矯正試験片の YS/TS も良好な値が得られた。鋼管 A と B の母材の衝撃特性を Table 3 に示す。パイプ QT で得られた鋼管 A は QT Plate+SAW のプロセスから得た鋼管 B よりも衝撃特性は、はるかに良好である。鋼管 A が B よりも衝撃特性が良好な理由は (1) 鋼管 A の P, S は

Table 3. Mechanical properties of pipe A and B.

Process	Pipe No.	Charpy Test				DWTT	
		L		C			
		vE-196°C J/cm²	L.E. mm	vE-196°C J/cm²	L.E. mm		
Pipe QT	A1	236	1.65	160	1.42	100	
	A2	249	1.75	157	1.37	100	
	A3	233	1.68	190	1.62	100	
	A4	279	1.93	220	1.83	100	
QT Plate+SAW	B	156	0.98	87	0.86	98	

(Charpy Size A: 10×2/3, B: 10×1/2)

Table 4. Mechanical properties of welded joint of 9% Ni steel pipe.

Process	Pipe No.	Welding Process	Charpy Test						Weld Tensile Test	
			Weld		Bond		HAZ			
			vE-196°C J/cm²	L.E. mm	vE-196°C J/cm²	L.E. mm	vE-196°C J/cm²	L.E. mm	TS Kg/mm²	Breaking Position
Pipe QT A	A1	SAW	71	0.65	109	0.88	147	1.15	85.4	Base Metal
	A2	SAW	84	0.71	91	0.75	160	1.23	85.4	Base Metal
	A3	SAW	83	0.70	129	1.05	175	1.47	79.5	Base Metal
	A4	MIG	102	0.87	102	0.89	188	1.58	81.4	Base Metal
QT Plate + SAW	B	SAW	131	0.82	93	0.60	131	0.80	80.3	Base Metal

(Charpy Size : A : 10 x 2/3, B : 10 x 1/2)

钢管Bよりも低いこと、(2)成形による加工硬化がパイプ QT によつて消滅するのに対して、Bは残存していることによるためである。

4.2.2 パイプ QT による溶接部の性能

パイプ QT と QT Plate+SAW によつて製造したパイプ溶接部の機械的性質の比較を Table 4 に示す。

溶接金属の-196°Cの靭性は钢管BがNi基合金ワイヤで溶接しているために共金系ワイヤで溶接したパイプ QT の钢管Aよりも高いがAの靭性はASTM規格を十分に満足し良好である。またQT後のMIG溶接金属の靭性はQT後のSAW溶接金属の靭性と同等以上の値が得られている。ボンドおよびHAZの靭性は钢管Aの方がBよりも良好であり、AのHAZは母材と均一組織をしており、HAZの脆化は全く認められなかつた。溶接継手の引張試験結果は钢管A、Bともに、すべて良好であり、破断は母材切れであつた。またガイドボンドテスト(表曲げ、裏曲げ)もすべて良好であつた。

5. 考察

5.1 吸収エネルギーと横膨脹率の関係

钢管Aで造管した钢管4本について、vE-196°Cと横

膨脹率の関係をFig. 8に示す。母材のL.C方向、溶接金属、ボンドおよびHAZとともに、vE-196°Cと横膨脹率の関係は直線関係である。溶接金属(Bond)<HAZ<母材(C)<母材(L)の順に靭性は高くなつてい、るが、いずれもASTM規格A 553およびA 333(Gr. 8)を満足した钢管である。

5.2 钢管Aと钢管Bの溶接継手の硬度の比較

钢管Aと钢管Bの溶接継手の硬度分布をFig. 9に示

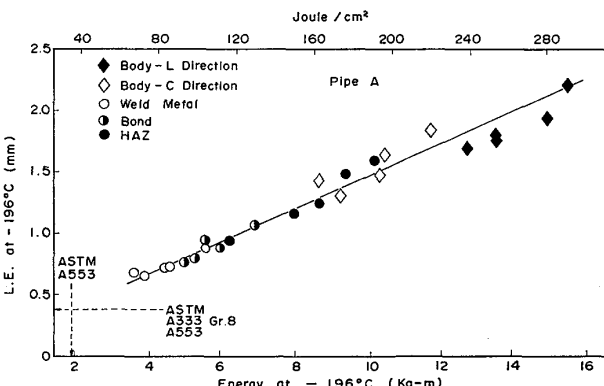


Fig. 8. Relation between Charpy energy and lateral expansion at -196°C. (Charpy size : 10 x 2/3)

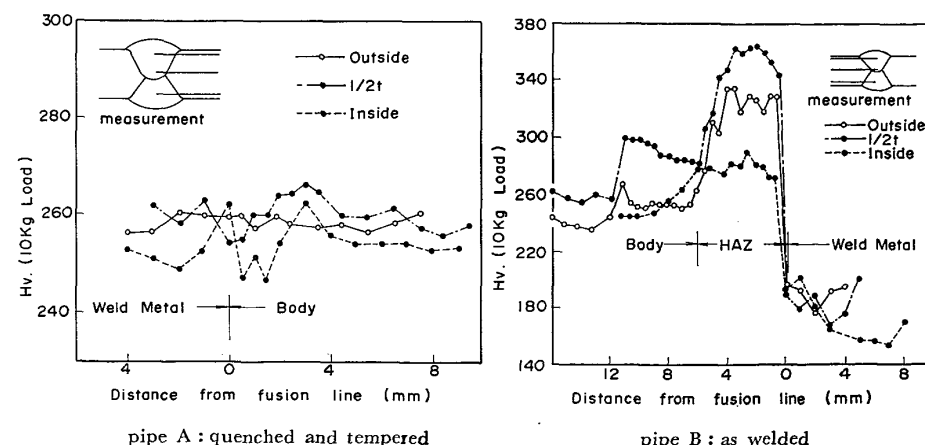


Fig. 9. Hardness distribution of welded joints of 9% Ni steel A and B.

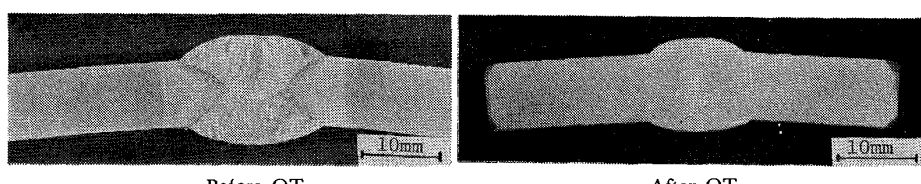


Photo. 1. Macrostructure of welded joints of 9% Ni steel pipe A.

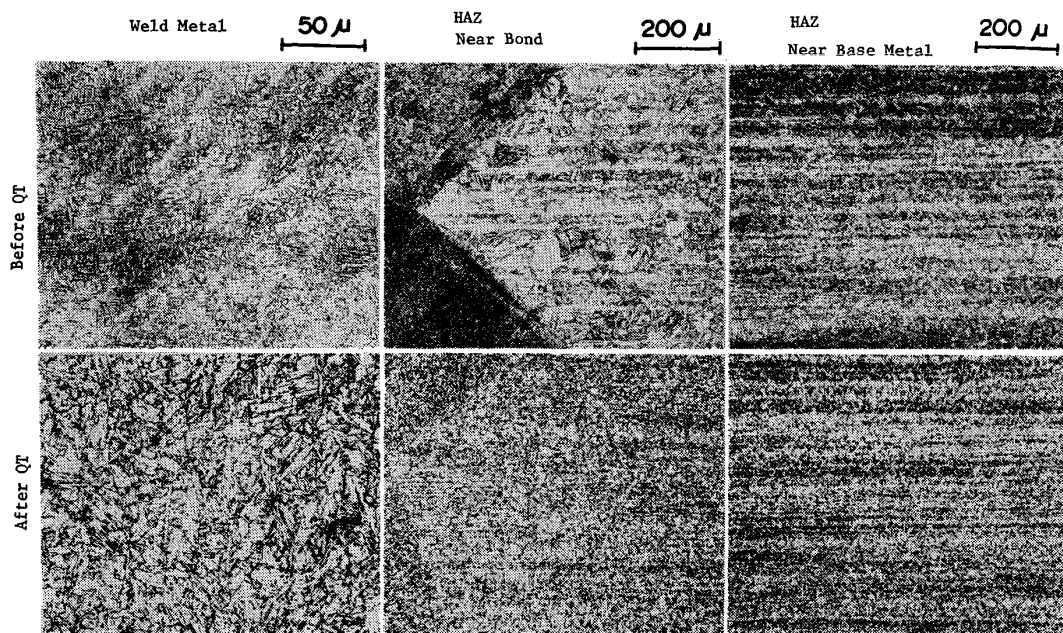


Photo. 2. Microstructure of welded joints of 9% Ni steel pipe A.

す。SAW溶接したAのQT後のHAZは母材と均一組織の焼もどしマルテンサイトと一部残留オーステナイトになるため硬度もmax. H_v 264であり、溶接金属、HAZの硬度の均一性が優れているのに対して、Bは溶接ままであるため、HAZ粗粒域はマルテンサイト組織になり、硬度もmax. H_v 366になつて後熱処理または焼もどしが必要になる。さらにBの場合はNi基合金ワイヤで溶接しているので安定オーステナイトになり、母材硬度よりも低く、溶接金属とHAZおよび母材との強度差が大きい。このために鋼管Aではガイドペンドテスト(GB)は良好であるのに対して、BはGBで溶接部に歪みが集中して問題を生じることがある。このようにパイプQT方式の方がQT Plate+SAW方式よりも溶接継手の性能は良好である。

5.3 鋼管AのQT前とQT後の組織変化

パイプQTで造管した鋼管AのQT前後のマクロ組織を、Photo. 1に示す。QT前は溶接金属のデンドライト組織とHAZが明確であるのに対して、QT後は溶接金属のマクロ的なデントライトはほぼ消滅しており、HAZは母材と同一の組織を示している。Photo. 2は鋼管Aの溶接部の顕微鏡組織の変化を示す。QT前の溶接金属は

低炭素の島状マルテンサイトが全面に析出しており、HAZ粗粒域はラス状マルテンサイト量の多い組織であるのに対して、QT後の溶接金属は、焼もどしマルテンサイトになるとともに一部残留オーステナイトになつている。QT後のHAZは母材と同一組織になつておらず、焼もどしマルテンサイトと一部残留オーステナイトである。

9%Ni鋼が良好な低温韌性を示す原因について、従来数多くの研究が報告されている。MARSHALL⁷⁾らは9%Ni鋼の高い韌性の支配因子は焼もどし過程に生じる微細な逆変態オーステナイト(γ_R)である。すなわち(1) γ_R が衝撃荷重を吸収すると共に割れの伝播も阻止する。(2) γ_R がフェライト地中の炭素その他の不純物を吸収し、フェライト地の韌性を向上させるとしている。一方、大岡^{4,8)}らは、焼もどし脆化領域と γ_R が生成していく領域の中間領域(525~550°C)に焼もどしされた多量のNiを固溶するマルテンサイトまたはベイナイト自身が高い韌性を有しているとしている。一方市販鋼の場合、大岡らの実験室的に溶製されたものより不純物が多く、焼もどし脆化が高温側でも現れるようになり、また材質の安定性を考え、通常焼もどし温度は575

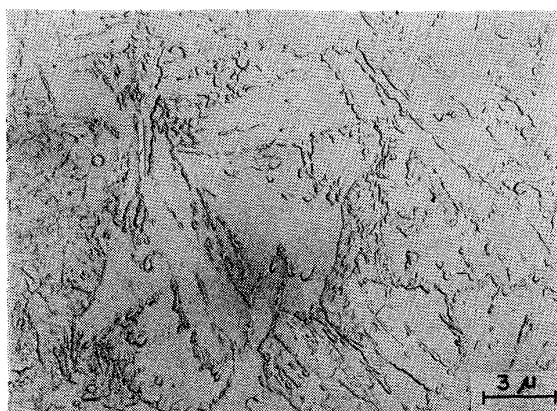


Photo. 3. Microstructure in weld metal of pipe A by electron microscope.

°C 1 h が採用されており、このときの γ_R 量は竹田⁹⁾ らによれば 4~8% は存在している。本研究に用いた焼もどし温度は短時間加熱 (4 min) の 620°C であつて、このときの焼もどしパラメータ P 値は 16.8×10^3 であり、市販鋼の 575°C 1 h 焼もどしの P 値は 16.9×10^3 で、ほぼ一致し、620°C 焼もどしは妥当であることがわかる。

次に QT の母材と溶接金属の金属組織を電子顕微鏡で観察し、X線回折によつて γ_R 量を測定した。Photo. 3 は溶接金属の結果である。組織は母材と同様焼もどしマルテンサイトになつておつり、小さな γ_R が観察されるがフェライト結晶粒径は母材よりやや大きい。また溶接金属の γ_R 量は 4.8% であり、母材の γ_R 量は 4.5% であつた。このことから短時間加熱の 620°C 焼もどしと市販鋼の 575°C 1 h 焼もどしの γ_R 量はほぼ一致している。

この γ_R は MARSHALL ら⁷⁾ が述べているように、炭素、その他の不純物を吸収した状態であり、竹田⁹⁾ は LNG 温度で長時間浸漬試験をした結果、この γ_R は全く恒温マルテンサイト変態を起こさず脆化しないことを明らかにしている。

6. 結論

LNG 輸送に適した 9%Ni 鋼管をパイプ QT によつて製造するに際して、実験室的検討と実管の製造を行い、次の事柄を明らかにした。

(1) 試作鋼管は圧延のままの 9%Ni 鋼を造管して、共金系の溶接ワイヤで SAW 溶接をした後、パイプ QT の設備を用い、钢管を連続的に熱処理することによ

つて、母材、溶接部ともに良好な性能を有し、しかも ASTM 規格 A 333 (Gr. 8) を十分に満足する钢管が得られた。

(2) 実験室的熱処理シミュレーションおよびパイプ QT による実管の急速加熱短時間熱処理条件は 790°C 焼入れ、620°C 4 min の焼もどしが最適であり、一般市販鋼の焼もどし条件とされている 575°C 1 h と比較した場合、焼もどしパラメータ P 値および残留オーステナイト量とともに、よく一致しており、パイプ QT の熱処理条件は妥当と思われる。

(3) QT 後の MIG 溶接金属は QT 後の SAW 溶接金属に比べて、同等以上の靭性が得られたが、MIG 溶接法を用いなくても 9%Ni 鋼共金ワイヤと塩基性溶融型フラックスを用いた SAW 溶接法で QT 後十分な性能が得られた。

(4) 従来の Ni 基合金ワイヤで QT Plate+SAW した钢管 B は母材に比べて、HAZ 粗粒域はマルテンサイト組織になり、最高硬度も Hv 366 と著しく高く、溶接金属はオーステナイトのために硬度が母材よりも低く強度差が大きい。しかも HAZ の靭性劣化が認められるのに対して、本研究で開発したパイプ QT による 9%Ni 鋼管 A の溶接部は母材と均一組織の焼もどしマルテンサイトと一部残留オーステナイトになるために最高硬度も Hv 264 と良好である。さらに靭性に関しても良好であり、またマクロ組織、顕微鏡組織も良好である。

以上の事柄から 9%Ni 鋼管を製造するプロセスとしてパイプ QT 方式が最も良好な方法といえる。

文 献

- 1) 伊藤慶典、小泉 勇: 住友金属, 21 (1969) 3, p. 10
- 2) 越賀房夫: 溶接学会概要, 21 (1977), p. 96
- 3) 田中甚吉: 溶接学会概要, 21 (1977), p. 98
- 4) 大岡耕之、杉野和男: 日本金属学会誌, 20 (1977), 5, p. 435
- 5) 伊藤亀太郎、片上幹史: 富士製鉄技報, 15 (1966), 4, p. 29
- 6) 森垣 脩、鈴木丈夫、杉岡 黙: 溶接学会誌, 45 (1976), 7, p. 21
- 7) C. W. MARSHALL: Trans. ASM, 55 (1962), p. 135
- 8) 大岡耕之、三村 宏: 日本金属学会誌, 30 (1966), p. 442
- 9) 竹田頼正、片山茂久雄、牛島正夫: 三菱重工技報, 14 (1977), p. 16